

**ΣΤΑΤΙΚΗ ΠΕΡΙΣΤΡΟΦΙΚΗ ΔΥΣΚΑΜΨΙΑ ΕΓΚΙΒΩΤΙΣΜΕΝΩΝ
ΘΕΜΕΛΙΩΣΕΩΝ ΤΥΧΟΝΤΟΣ ΣΧΗΜΑΤΟΣ ΚΑΤΟΨΕΩΣ**

A. Χατζηκωνσταντίνου *, Γ. Γκαζέτας**, και I. Τασσούλας***

Περιλήψη

Αναπτύσσεται μια απλή αλλά ρεαλιστική μέθοδος για τον υπολογισμό της στατικής περιστροφικής δυσκάμψιας θεμελιώσεων τυχόντος σχήματος κατόψεως που εδράζονται ή είναι εγκιβωτισμένα σ' έναν ομοιογενή ελαστικό πηλίχωρο. Η μέθοδος βασίζεται στην κατανόηση της φυσικής του προβλήματος και την ανάπτυξη ενός απλού φυσικού προσομοιώματος ικανού να αναπαράγει με ακρίβεια τα αριθμητικά δεδομένα που αποκτήθηκαν κυρίως με τη χρήση της μεθόδου των Συνοριακών Στοιχείων. Τα αποτελέσματα δίνονται με τη μορφή απλών αλγεβρικών εκφράσεων και μπορούν να εφαρμοστούν για κορεσμένα και ακόρεστα εδάφη, για ποικίλα σχήματα, για ένα ευρύ φάσμα βάθους θεμελιώσεως, και για οποιονδήποτε βαθμό επαφής στην παράπλευρη επιφάνεια τοιχωμάτων-εδάφους.

* Τελειόφοιτος Πολιτικός Μηχανικός ΕΜΠ.

** Καθηγητής ΕΜΠ.

*** Αναπλ. Καθηγητής, Πανεπιστήμιο του Τέξας στο Ωστεν.

**STATIC ROCKING STIFFNESS OF
ARBITRARILY-SHAPED EMBEDDED FOUNDATIONS**

C. Hatziconstantinou*, G. Gazetas**, and J. Tassoulas***

Abstract

A simple realistic method is developed for the static rotational stiffness of rigid arbitrarily-shaped foundations embedded in a homogeneous halfspace. The method is based on the understanding of the physics of the problem and thereby developing a simple model which reproduces with very good accuracy the numerical data obtained mainly with a Boundary Element formulation. The results are given in the form of algebraic expressions; they are applicable to both saturated and unsaturated soils, a variety of base shapes, and any degree of contact between backfill and foundation sidewalls.

* Civil Engineering Student, National Technical University of Athens.

** Professor, National Technical University of Athens.

*** Associate Professor, University of Texas at Austin.

1. ΕΙΣΑΓΩΓΗ

Ο προσδιορισμός της περιστροφής θεμελιώσεων που υποβάλλονται σε καμπτική δράση είναι ένα πρόβλημα αλληλεπιδράσεως εδάφους-κατασκευής με πολλαπλό ενδιαφέρον για τον πολιτικό μηχανικό. Παράδειγμα: συχνά στην πράξη ο μηχανικός αντιμετωπίζει πλαίσια με μεγάλες καμπτικές ροπές, ή έχει να υπολογίζει θεμέλια υποχρεωτικά μεγάλης εκκεντρότητας¹ η περιστροφική δυσκαμψία του συστήματος "θεμέλιο-έδαφος" σε τέτοιες περιπτώσεις επιπρέπει όμεσα τη συμπεριφορά της ανωδομής (π.χ. τη δημιουργία ή μη πλαστικών αρθρώσεων, κλπ.). Επίσης ενδιαφέρον έχει η πρόβλεψη τής περιστροφής και των συνακόλουθων διαφορικών βιθύσεων μονολιθικών θεμελιώσεων (γενικών κοιτοστάσεων, κυψελώτων και κιβωτοειδών θεμελίων, κλπ.) των οποίων οι ανωδομές υπόκεινται σε εγκάρσιες φορτίσεις και επομένως μεταβιβάζουν στο έδαφος και ροπές² σ' αυτού του είδους τις φορτίσεις συγκαταλέγονται η ανεμοπίσση, οι πλευρικές αθήσεις γαιών, οι υδροστατικές και υδροδυναμικές πιέσεις. Η πρόβλεψη καὶ ο περιορισμός τέτοιων περιστροφών και διαφορικών βιθύσεων είναι [σως το υπ' αριθμόν ένα γεωτεχνικό πρόβλημα κατά τη θεμελίωση ευαίσθητων κατασκευών, δημος π.χ. πύργοι ραντάρ, κτίρια με πλεκτρονικά όργανα, κτίρια στεγάσεως πυρηνικών αντιδραστήρων, κλπ. Τέλος, εγκάρσιες φορτίσεις και ροπές στη στάθμη θεμελιώσης γεννιούνται εξαιτίας δυναμικών δράσεων: κατά τη διάρκεια σεισμικού κραδασμού, από τη λειτουργία μηχανής, από κρουστικές φορτίσεις.

Είναι πραφήνις λοιπόν η ανάγκη μελέτης της περιστροφικής δυσκαμψίας θεμελιώσεων και η ανάπτυξη σχετικά απλών μεθόδων υπολογισμού της. Η παρουσιαζόμενη ερευνητική εργασία επιχειρεί να ανταποκριθεί στην ανάγκη αυτή. Αντικείμενον της: ο υπολογισμός της στατικής περιστροφικής δυσκαμψίας θεμελιώσεων που έχουν κάτοψη τυχόντος σχήματος, εδράζονται σε βάθος D, κι απολαμβάνουν τυχόντος βαθμού εγκιβωτισμού.

Οι δημοσιευμένες μέθοδοι υπολογισμού της περιστροφής επιφανειακών και εγκιβωτισμένων θεμελιώσεων που μεταβιβάζουν ροπή ταξινομούνται σε τρεις κατηγορίες:

- "συνεχείς" μέθοδοι - σ' αυτές περιλαμβάνονται αναλυτικός και ημιαναλυτικοί αλγόριθμοι
- μέθοδοι που βασίζονται στη μέθοδο των πεπερασμένων στοιχείων (ειδικά για το δυναμικό πρόβλημα, οι αλγόριθμοι πεπερασμένων στοιχείων διακρίνονται σ' αυτούς που θεωρούνται: (i) συνήθη δράσα τοποθετημένα σχετικά μακριά από την περιοχή του θεμέλιου, και (ii) ειδικά σύνορα που απορροφούν ενέργεια, ώστε να υποκαθιστούν την ενέργεια που μεταβιβέται μακριά με τα κύματα³ αυτά τα σύνορα τοποθετούνται σχετικά κοντά στο θεμέλιο).
- μέθοδοι που βασίζονται στη μέθοδο των συνυπλακών στοιχείων
- προεγγιστικές μέθοδοι.

Τα περισσότερα απ' τα αποτελέσματα που έχουν δημοσιευτεί μέχρι σήμερα αήφορουν επιφανειακές θεμελιώσεις κυκλικού σχήματος. Το γεγονός αυτό, σε συνδυασμό και με τη δυσκολία επλύσης του προβλήματος για θεμέλια διαφορετικού σχήματος, έχει οδηγήσει σε ευρεία χρήση της προσεγγιστικής μεθόδου του "Ισοδυνάμου κύκλου". Σήμερα δημιού, η αξιοποίηση της μεθόδου αυτής αμφισβήτεται, μάλιστα δε βάσιμα δημιού ως αποδειχθεί και παρακάτω από τη σύγκρισή της με τη μέθοδο που παρουσιάζεται σ' αυτήν εδώ την εργασία. Αποτελέσματα στη βιβλιογραφία υπάρχουν επίσης και για θεμελιώσεις ορθογωνικής κάτοψης μικρού, δημιού, λόγου πλευρών, καθώς και για την οριακή περίπτωση της θεμελιώλωρδας. Για επιφανειακές θεμελιώσεις με κάτοψη τυχόντος σχήματος υπάρχει η μέθοδος τών DOBRY και GAZETAS [2], κι αυτή ακριβώς, αφού βελτιωθεί εδώ, με βάση πλήθος νέων αριθμητικών δεδομένων, αποτελεί την αφετηρία της παρουσιαζόμενης ερευνητικής εργασίας.

Για μη-επιφανειακές και εγκιβωτισμένες θεμελιώσεις τα δημοσιευμένα αποτελέσματα είναι πολύ πιο λιγοστά, το οπιμαυτικότερο δε μέρος τους αναφέρε-

ταί και πάλι σε κυκλική κάτοψη. Υπάρχει δόμας επίσης και ένας πολύ περιορισμένος αριθμός αποτελεομάτων για ορθογωνικές κατόψεις λόγου πλευρών περί την μονάδα, καθώς και για την οκτάρα περίπτωση της θεμελιολαρδίας. Επιπλέον δε οι μέχρι σήμερα δημοσιευμένες λύσεις αναφέρονται σε μία από τις εξής δύο οκτάρες περιπτώσεις: (α) θεμελιώσεις σε βάθος Δ χωρίς κατακρύφα πλευρικά τοιχώματα¹ και (β) πλήρως "εντοιχιομένες" (ή "εγκιβωτιομένες") θεμελιώσεις με κατακρύφα τοιχώματα που έχουν πλήρη και τέλεια εποφή με το περιβάλλον έδαφος, ο' όλο το βάθος από την επιφάνεια μέχρι τη στάθμη θεμελιώσεως. Η πραγματικότητα φυσικά στις περισσότερες περιπτώσεις βρίσκεται κάπου ανάμεσα. Έτοις κι δαν ακόμα υπάρχει πλήρης εποφή στις παρόπλευρες διεπιφάνειες τοιχών-εδάφους, όπτε καθαρές ασφαλιστικές τάσεις αναπτύσσονται μεταξύ των δύο μέσων, ούτε το μέγεθος των διατηρητικών τύσεων ξεπερνά τις οριακές τιμές που "επιβάλλει" ο υόμος τριβής του COULOMB. Έτοις, είναι πολύ πιθανό να υπάρξει ολίσθηση και αποχωρισμός στις διεπιφάνειες - κάτι που αγνοείται στις μέχρι σήμερα υπάρχουσες επιλύσεις.

Η έλλειψη λύσεων για τη γενική περίπτωση τυχόντος βαθμού εγκιβωτισμού είναι εντελώς κατανοητή, δεδομένης της μαθηματικής δυσχέρειας τού προβλήματος. Αναλυτικές λύσεις με βάση τη θεωρία ελαστικότητας είναι αδιανόητες για τόσο περιπλόκες συνοριακές συνθήκες. Άλλα και οι καθαρά αριθμητικές λύσεις αντιμετωπίζουν σοβαρές δυσχέρειες λόγω της τρι-διάστατης γεωμετρίας του προβλήματος, εδώ δχι και της μεγάλης έκτασης της εδαφικής μάζας (στις τρεις μάλιστα κατευθύνσεις). Αντίθετα, η μεθοδολογία που ακολουθείται εδώ είναι διαφορετική: με βάση παραμετρικά αποτελέσματα από ακριβείς επιλογές αναπτύσσονται απλά μοντέλα τα οποία σέβονται τη φυσική του προβλήματος και κάνουν χρήση θεμελιώδων ενυπίσιων της μηχανικής. Πιο συγκεκριμένα, γίνεται η διερεύνηση της συμπεριφοράς και παρουσιάζονται αποτελέσματα για την ανίσταση στο λικνισμό (δηλ. στην ταλάντωση περί ορίζοντο δέσμων) θεμελιώσεων τυχόντος σχήματος κατόψεως, τυχόντος βάθους θεμελιώσεως, και τυχόντος βαθμού εποφής των πλευρικών τοιχώματων με το περιβάλλον έδαφος. Η μελέτη δε γίνεται με τη βοήθεια αριθμητικών δεδομένων που ελήφθησαν - κυρίως - με τη μέθοδο των "Συνοριακών Στοιχείων".

2. ΔΥΟ ΛΟΓΙΑ ΓΙΑ ΤΗ ΜΕΘΟΔΟ ΤΩΝ "ΣΥΝΟΡΙΑΚΩΝ ΣΤΟΙΧΕΙΩΝ"

Μερικά από τα χρησιμοποιούμενα αριθμητικά δεδομένα προέρχονται από αναλυτικές λύσεις και λύσεις με τη μέθοδο των πεπερασμένων στοιχείων. Η πλειοψηφία τους δόμας προέρχεται από λύσεις βασιζόμενες στη μέθοδο των Συνοριακών Στοιχείων. Η μέθοδος αυτή, που έχει πρόσφατα γίνει αρκετά δημοφιλής, επέτρεψε την επέλυση με ικανοποιητική ακριβεία προβλημάτων που μόνο μέτρια μπορούσαν να προσεγγιστούν με τις προηγούμενες μεθόδους. Η δυσκολία για την ικανοποιητική προσέγγιση του προβλήματος οφείλεται κυρίως στην πολυπλοκότητα των ουνοριακών συνθηκών. Με τη μέθοδο των Συνοριακών Στοιχείων, που είναι μια μέθοδος στην οποία ημιαναλυτική/μιαριθμητική, τα σύνορα διαχωρίζονται σε πεπερασμένα στοιχεία. Παράλληλα χρησιμοποιούνται "θεμελιώδεις" αναλυτικές λύσεις που ικανοποιούν τις εξισώσεις ισορροπίας ή κινήσεως και ταυτόχρονα σέβονται τη συνθήκη ακτινοβολίας της ενέργειας στο διάστημα. Επίμοδους κατ' επανάληψη την "αρχή της αμοιβαιότητας" (θεώρημα BETTI-MAXWELL) προκύπτει ένα σύστημα αλγεβρικών εξισώσεων που συνδέουν τάσεις και μετατοπίσεις σε κάθε κέντρο του κανυάρου και από το οποίο προκύπτει η λύση. Δηλαδή, στην ουσία, η μέθοδος των Συνοριακών Στοιχείων μειώνει κατά έναν τον βαθμό αοριστισμό του προβλήματος.

Για θεμελιώσεις ορθογωνικής κάτοψης σε ημίχωρο η μέθοδος προσέφερται ιδιαίτερα, και γι' αυτό επιστρατεύθηκε σ' αυτήν εδώ την εργασία. Χρησιμοποιήθηκε δηλαδή η θεμελιώδης λύση για έναν ομοιογενή ημίχωρο ("θυμαμικό" πρόβλημα του KELVIN), που εκφράζεται με δρους απλών μαθηματικών συναρτήσεων. Οι ελεύθερες επιφάνειες και η επιφάνεια της θεμελιώσης χωρίστηκαν σε ορθογωνικά στοιχεία, σε καθένα απ' τα οποία οι τάσεις και οι μετατοπίσεις

θεωρήθηκαν στοιχεία. Διερεύνηση του τρόπου σύγκλισης και ακρβείας τής λύσης έδειξε ότι για ορθογωνικές θεμελιώσεις πλάτους 2B με στοιχεία μέγιστης διάστασης B/4 στη διεπιφάνεια εδδάφους-θεμελίωσης και B/2 στην ελεύθερη επιφάνεια, που εκτείνονται μέχρι 4B από κάθε άκρη τής τάφρου θεμελιώσεως, προκύπτουν πολύ καλά αποτελέσματα. Τέτοιο δε πλέγμα στοιχείων χρησιμοποιήθηκε με θηκε και στην περίπτωσή μας. Το υπολογιστικό μέρος πραγματοποιήθηκε με έναν 8-MEGABYTE CRAY X-MP/48 SUPER-COMPUTER.

3. ΤΟΠΟΘΕΤΗΣΗ ΤΟΥ ΠΡΟΒΛΗΜΑΤΟΣ

Γίνεται η μελέτη της συμπεριφοράς που παρουσιάζει μια δικαμπτη θεμελίωση (a) επιφανειακή, που εδρίζεται σε ομοιογενή, ισότροπο, ελαστικό ημίχωρο και (b) σε βάθος D από την ελεύθερη επιφάνεια και με οποιοδήποτε βαθμό επαφής των πλευρικών τοιχωμάτων με το προβάλλον έδαφος (Σχ. 1). Το διτή η στροφή είναι βαθμός ελευθερίας συζευγμένος με την οριζόντια κίνηση του συστήματος, δεν εξετάζεται σ' αυτό το σημείο, αλλά εξετάζεται μόνο η στροφική δυσκαμψία. Πάντως, ομηρώνεται ότι στις βαθιές θεμελιώσεις μπορεί νάνι αναγκάσια η μελέτη και αυτής τής περίπτωσης.

Το έδαφος εξουσιώνεται με ελαστικό ομοιογενή ημίχωρο. Αυτό το μοντέλο για το έδαφος είναι το απλούστερο δυνατό. Εδώ χρησιμοποιείται ακριβώς γι' αυτήν την απλότητά του' και ακόμη, επειδή η πλειοφύλετη τών δημοσιευμένων θεωρητικών αποτελεσμάτων που είναι σήμερα διαθέσιμα, χρησιμοποιεί αυτό το μοντέλο. Η απλοποίηση αυτή, πάντως, επιτρέπει απόλυτα την ποιοτική κατανόηση, ενώ ταυτόχρονα διατηρεί ικανοποιητικά μικρό το πλήθος τών ανεξαρτήτων παραμέτρων τού προβλήματος. Με βάση αυτό το πρότυπο έδαφους εξάγεται και η μέθοδος που παρουσιάζεται εδώ. Τουνίζεται δήμας, δή για την εφαρμογή της ο μηχανικός πρέπει πρώτα να σιγουρεύεται ότι διαθέτει ένα αρκετά βαθύ και ομοιογενές εδαφικό στρώμα και μετά να επιλέξει αντιπροσωπευτική μέση τημή του μέτρου διατηρίσεως. Η επιλογή δε του κατάλληλου μέτρου διάτησης είναι ίσως και το δυσκολότερο μέρος σε μια μελέτη τής πράξης. Στο θέμα αυτό επανερχόμαστε αργότερα, στο τελευταίο κεφάλαιο της εργασίας.

Στη θεμελίωση ασκείται ροπή M. Η παραγόμενη στροφή θα είναι:

$$\phi = \frac{M}{K} \quad (1)$$

εφόσον K = η στροφική δυσκαμψία του συστήματος.

Σ' αυτήν εδώ την εργασία παρουσιάζεται μια μέθοδος για την προσδιορισμό τής δυσκαμψίας αυτής.

4. ΔΥΣΚΑΜΨΙΑ ΕΠΙΦΑΝΕΙΑΚΟΥ ΘΕΜΕΛΙΟΥ

Ονομάζουμε K_{rx} την περιστροφική δυσκαμψία για ροπή περί του διαμήκη δέσμου x και K_{ry} για ροπή περί του οριζόντιο δέσμου x. Για τα K_{rx} , K_{ry} βρέθηκε διτή ισχύουν οι σχέσεις:

$$K_{rx} = S_{rx} \frac{G}{1-v} \frac{I_x^{0.75}}{(B/L)^{0.25}} \quad (2)$$

$$K_{ry} = S_{ry} \frac{G}{1-v} I_y^{0.75} \quad (3)$$

δημο: I_x και I_y = η επιφανειακή ροπή αδρανείας τής κάτοψης ως προς τον δέσμο x και y αντιστοχώς²; G = το μέτρο διατηρίσεως τού εδάφους³; v = ο λόγος του POISSON, ενώ 2B και 2L είναι τα μήκη τής μικρής και τής μεγάλης πλευράς του περιγεγραμμένου ορδογώνιου (Σχ. 3). S_{rx} και S_{ry} είναι αδιστατοί συντελεστές δυσκαμψίας. Στις αλγεβρικές αυτές εκφράσεις καταλήξουμε με την επαναληπτική μέθοδο "δοκιμασία-διόρθωση", έχοντας στόχο την ανεύρεση αδιστατων παραμέτρων, χαρακτηριστικών τού προβλήματος, που θα απεικνύζουν δυσούτων ακριβέστερα και με απλότητα τα αποτελέσματα τών θεωρητικών αναλογεων.

Οι σχέσεις που αφέωνται παρακάτω προτείνονται για τους συντελεστές δυσκαμψίας S_{rx} , S_{ry} προέκυψαν με δοκιμές-διορθώσεις:

$$S_{rx} = 2.4 + 0.5 \frac{B}{L} \quad (4)$$

$$S_{ry} = 3 \left(\frac{B}{L} \right)^{-0.15} \quad (5)$$

και θεωρείται διτις λογικούς για όποιοδήποτε σχήμα κάτοψης και για όποιοδήποτε λόγο του POISSON ν. Εξαφέρεται πάντως, ο δακτύλιος και παρόμοια σχήματα. Από τους συντελεστές δυσκαμψίας S_{rx} και S_{ry} προκύπτουν οι δυσκαμψίες K_{rx} και K_{ry} από τις σχέσεις (2) και (3). (Για τη θεμελιώδεις θα προκύψει, φυσικό, η δυσκαμψία ανά μέτρο μήκους: $K_{rx}/2L$).

Η μεταβολή των S_{rx} και S_{ry} συναρτήσει του λόγου B/L παρουσιάζεται γραφικά στο Σχ. 2. Τα διάφορα σημεία στα διαγράμματα τού Σχ. 2 αποτελούν τα αριθμητικά δεδομένα. Αυτά προέρχονται από τα αποτελέσματα που δημοσιεύτηκαν από διάφορους ερευνητές ή που αποκτήθηκαν ειδικά γι' αυτήν εδώ την εργασία με τη χρήση προγράμματος Συνυριακών Στοιχείων. Τα δεδομένα αφορούν κυρίως κατόφεις ορθογώνικο σχήματος, αλλά και κυκλικού, λωρίδων και σύνθετου (Σχ. 3). Αναλυτικά τα δεδομένα και οι πηγές τους αναφέρονται στο [16]. Η απόκλιση μεταξύ των θεωρητικών αποτελεσμάτων που αφορούν το ίδιο πρόβλημα είναι συχνά αρκετά σημαντική κι αυτό οφείλεται στον διαφορετικό τρόπο προσεγγίσης και επίλυσης που χρησιμοποιήσεις ο κάθε ερευνητής. Τα διασπορά αυτή τών δεδομένων παρουσιάζεται για λόγους πληρότητας αλλά και σαν ένδειξη της αβεβαιότητας με την οποία προσδιορίζεται η δυσκαμψία τού συστήματος.

Από το Σχ. 2 είναι φανερό διτις:

(a) Ο συντελεστής δυσκαμψίας S_{ry} είναι πάντα μεγαλύτερος του S_{rx} . Το γεγονός αυτό γίνεται κατανοητό αν εκφράσουμε τα S_{rx} και S_{ry} συναρτήσει των K_{rx} και K_{ry} , όποτε για ορθογώνικό σχήμα προκύπτει:

$$S_{rx} = (1-v) \left(\frac{3}{4} \right)^{0.75} \frac{B}{L} \frac{K_{rx}}{GB^3} \quad (6)$$

$$S_{ry} = (1-v) \left(\frac{3}{4} \right)^{0.75} \left(\frac{B}{L} \right)^{2.25} \frac{K_{ry}}{GB^3} \quad (7)$$

Από τη μελέτη δε των δεδομένων: K_{rx}/GB^3 , K_{ry}/GB^3 (Σχ. 4) φαίνεται διτις το K_{ry} είναι δυσανάλογα μεγαλύτερο του K_{rx} ώστε το S_{ry} υπερτερεί του S_{rx} , παρά τη μείωση του B/L (εξ. 6, 7).

(β) Το S_{ry} φθίνει αισθητά καθώς το B/L αυξάνεται και S_{∞} δόταν $B/L \rightarrow 0$, δηλαδή δόταν $L/B \rightarrow \infty$ (λωρίδα). Αντίθετα, το S_{rx} φαίνεται να φθίνει ελαφρά με τη μείωση του B/L . Και αυτό το φαινόμενο μπορεί να εξηγηθεί από τα δεδομένα, απ' όπου φαίνεται διτις το K_{rx} αυξάνεται με ρυθμό λίγο μικρότερο από τον ρυθμό μειώσεως τού B/L (Σχ. 4, εξ. 6), ενώ εντίθεται το K_{ry} αυξάνεται ταχύτερα.

Στο Σχ. 2 παρουσιάζεται και η γραφική προσεγγίση τού "ισοδυνάμου κύκλου". Αυτή συνίσταται στην αντικατάσταση της κάτοψης με έναν κύκλο που έχει ροτήσει διαρδικαίας τού με αυτήν τού πραγματικού σχήματος. Για στροφή περί τον διαμήκη δίξονα η ακτίνα του ισοδυνάμου κύκλου για ορθογώνιο $2B$ επί $2L$ προκύπτει:

$$R_x = (16 LB^3/3\pi)^{1/4} \quad (8)$$

ενώ για στροφή περί τον δίξονα προκύπτει για τον ισοδυνάμο κύκλο:

$$R_y = (16 L^3 B/3\pi)^{1/4} \quad (9)$$

* Εποιητικά, οι αδιάστατοι συντελεστές δυσκαμψίας θα είναι:

$$S_{rx} = \frac{1-v}{G} \frac{(B/L)}{I_x} \cdot K_{rx} = 3.2 \frac{B}{L} \quad (10)$$

αφού:

$$K_{rx} = K_{ry} = \frac{8GR_x^3}{3(1-v)} \quad και \quad I_x = \frac{1}{4} \pi R_x^4$$

$$S_{ry} = \frac{1-v}{G} \frac{1}{I_y^{0.75}} \quad K_{ry} = 3.2 \quad (11)$$

αφού:

$$K_{ry} = \frac{8GR^3}{3(1-v)} \quad \text{και} \quad I_x = \frac{1}{4} \pi R_x^4$$

Είναι φανερό διότι τα αποτελέσματα του ισοδύναμου κύκλου είναι ικανοποιητικό μόνον για τιμές του λόγου B/L κοντά στη μονάδα, γίνονται δε απαράδεκτα για πολύ επιμήκη θεμέλια ($B/L \leq 0.5$) στρεβόμενα περί τον εγκάριο δρόσινα γ.

Ανακεφαλαιώνοντας: οι (στατικές) ακαμψίες K_{rx} και K_{ry} επιφανειακού θεμελίου τυχόντος σχήματος με ροτές αδρανείας I_x και I_y και διαστάσεις περιγραμμένου ορθογωνίου $2L$ και $2B$, ($L > B$) δίνονται από τις σχέσεις:

$$K_{rx} = (2.4 + 0.5 \frac{B}{L}) \frac{G}{1-v} \frac{I_x^{0.75}}{(B/L)^{0.25}} \quad (2a)$$

$$K_{ry} = 3 \left(\frac{B}{L} \right)^{-0.15} \frac{G}{1-v} I_y^{0.75} \quad (3a)$$

5. • ΔΥΣΚΑΜΨΙΑ ΕΓΚΙΒΩΤΙΣΜΕΝΟΥ ΘΕΜΕΛΙΟΥ - ΠΡΟΤΑΣΗ ΝΕΑΣ ΜΕΘΟΔΟΥ

Συχνά οι θεμελίωσεις εδράζονται δχι στην επιφάνεια άλλα σε κάποιο βάθος D. Γι' αυτό πρέπει να μελετηθεί και η συμπεριφορά των εγκιβωτισμένων θεμελίωσεων.

Φυσική προσομοίωση - Ο εγκιβωτισμός μιας θεμελίωσης έχει τρεις πιθανές επιπτώσεις στην δυσκαμψία της.

Πρώτο-πρώτα, μια πλάκα εδραζόμενη σε βάθος D μεταφέρει το φορτίο σε βαθύτερα εδαφικά στρώματα των οποίων η ενδοσιμότητα είναι διαφορετική, συνήθως μικρότερη, από την ενδοσιμότητα των επιφανειακών στρωμάτων. Έτοι, ανέρχονται του βάθους θεμελίωσεως συνήθως - στην πράξη - συνεπάγεται αύξηση της στατικής της δυσκαμψίας λόγω μεγαλύτερου ενεργού G. Αυτό το σημαντικό ευνοϊκό, συνήθως, επακόλουθο του βάθους δεν εξετάζεται εδώ, αφού έχει γίνει η προσομοίωση του εδόφους με ομοιογενή ημίχωρο.

Τα δύλα δύο επακόλουθα του εγκιβωτισμού αποδίδονται σε αντίστοιχα φαινόμενα, που ονομάζονται: (i) φαινόμενο "τάφρου" και (ii) φαινόμενο "παραπλευρης επαφής". Αυτά επεξηγούνται με τη βοήθεια του Σχήματος 5.

Φαινόμενο τάφρου - Αν τοποθετήσουμε μιαν δικαμπή πλάκα στο βάθος ενός οργυματος, τότε, η στροφή της από μια καμπτή φόρτιση M θα είναι μικρότερη από αυτή της επιφανειακής πλάκας. Την ανέρχονται αυτή της δυσκαμψίας μπορούμε να την κατανοήσουμε εάν φανταστούμε ένα επίπεδο διά της επιφάνειας επαφής εδόφους-θεμελίωσεως (Σχ. 5α,β). Το επίπεδο αυτό, για την περίπτωση της θεμελίωσης στο βάθος της τάφρου, δεν θα παραμορφώνεται πια ελεύθερο από εξωτερικές τάσεις. Επομένως για μια δεδομένη ροτή η περιστροφή του θεμελίου αυτού θα είναι μικρότερη από την αντίστοιχη του επιφανειακού.

Φαινόμενο "παραπλευρης επαφής" - Αν στην δικαμπή πλάκα, που βρίσκεται στο βάθος της τάφρου, προστεθούν και δικαμπά τοιχώματα σε πλήρη επαφή με το έδαφος (αν δηλαδή εγκιβωτιστεί πλήρως το θεμέλιο) τότε, ένα μέρος του φορτίου θα μεταφέρθει από τα τοιχώματα μέσω ορθών και διατητικών δρόσεων επί των περιβάλλοντας εδόφους. Έτοι, το θεμέλιο θα στραφεί λιγότερο. Και αυτό σημαντικεί, βέβαια, ανέρχονται της δυσκαμψίας του συστήματος.

Καλώντας K_{tre} την δυσκαμψία του επιφανειακού θεμελίου, K_{sur} την δυσκαμψία του θεμελίου στην τάφρο, και K την δυσκαμψία του εγκιβωτισμένου θεμελίου, θα ισχύουν οι ανισότητες:

$$\frac{K_{tre}}{K_{sur}} = \Gamma_{tre} > 1 \quad (12)$$

KOL

$$\frac{K}{K_{tre}} = \Gamma_{wall} > 1 \quad (13)$$

Αμέσως παρακάτω αναπτύσσεται μια μέθοδος για τον προσδιορισμό τών συναρτήσεων Γ_{tre} και Γ_{wall} .

Συνάρτηση Γ_{tre} - Τα αριθμητικά δεδομένα που χρησιμοποιήθηκαν για τον προσδιορισμό τού Γ_{tre} παρουσιάζονται στο Σχ. 6. Αφορούν ορθογωνικές κατόψεις λόγου πλευρών $L/B = 1, 2, 4, 6$ και 10 , σχετικού βάθους θεμελίωσεως $D/B = 0,5, 1, 1,5$ και 2 , και λόγου τού POISSON $v = 0,33, 0,40$ και $0,49$. Τα δεδομένα προέρχονται δύλια από ανάλυση με μέθοδο Συνοριακών Στοιχείων [14].

Τα Γ_{tre} για κάθε περίπτωση προσδιορίζονται με το διαχωρισμό τής επιφανειακής από την δυσκαμψία τής τάφρου. Τα $\Gamma_{tre\ x}$ και $\Gamma_{tre\ y}$, αναφέρονται σε στροφή περί τον άξονα x και για την αντιστοίχως, διαφέρουν μεταξύ τους, βρίσκονται δύλια και τα δύο σε πολύ καλή συσχέτιση με το D/B (Σχ. 6).

Από τη μελέτη τών αριθμητικών δεδομένων συμπεραίνουμε ότι:

(a) Τα Γ_{tre} αυξάνονται με το βάθος, δημιουργώντας αυξανόμενη στροφή.

(b) Τα $\Gamma_{tre\ y}$ είναι πάντα μεγαλύτερο τού $\Gamma_{tre\ x}$ και μάλιστα, η διαφορά τους αυξάνεται δύο το L/B και το D/B μεγαλώνουν. Μια πιο τελική εξήγηση δίνεται στο Σχήμα 7, δημιουργώντας δύο την μεγαλύτερη στροφή περί τον άξονα y και επομένως θα επιστρατεύσουν μεγαλύτερες τάσεις στο επίπεδο του εδάφους που παραμορφώνται, από την περίπτωση της στροφής περί τον άξονα x . Για τον ίδιο λόγο, μια δεδομένη ροπή θα προξενήσει μικρότερη στροφή περί τον y .

(γ) Γενικά το Γ_{tre} λαμβάνει μάλλον ασήμαντα μικρές τιμές - μικρότερες από το $1,1$ και πάντως, μικρότερες από το $\Gamma_{tre\ x}$ που έχει βρέθει για κατακρυφή [7] και οριζόντια μετακίνηση [8]. Το γεγούνδις δε αυτό επιβεβαιώνεται και από την πειραματική εργασία τού ERDEN [5]. Για την εφαρμογή τής μεθόδου στην πράξη συνιστάται $\Gamma_{tre} \approx 1$. Σημειώνεται πάντως, ότι στα επόμενα στόδια αυτής εδώ τής εργασίας χρησιμοποιήθηκαν οι αληθείς τιμές τού Γ και δχι η προτεινόμενη προσέγγιση.

(δ) Ο λόγος τού POISSON v δεν φαίνεται να επηρεάζει σημαντικά αύτε το $\Gamma_{tre\ x}$ ούτε το $\Gamma_{tre\ y}$.

Τα Γ_{tre} βρίσκονται σε ικανοποιητική συσχέτιση με το D/B , γι' αυτό και δεν αναγγίζεται δύλια παράμετρος που να απεικονίζει καλύτερα αυτές τις συναρτήσεις. Οι σχέσεις που προτείνονται για μια πιο λεπτομερειακή θεώρηση είναι:

$$\Gamma_{tre_x} = 1 + 0.025 \frac{D}{B} \quad (14)$$

$$\Gamma_{tre_y} = 1 + 0.03 \frac{D}{B} \quad (15)$$

Συνάρτηση Γ_{wall} - Για τον προσδιορισμό τού Γ_{wall} χρησιμοποιήθηκε ένα ευρύ φάσμα δεδομένων, για διάφορα σχήματα (Σχ. 3), διάφορες τιμές λόγου πλευρών, σχετικού βάθους θεμελίωσεων και βαθμού παραπλευρης εποφής, καθώς και δύο το σύνηθες πιθανό εύρος τιμών τού λόγου τού POISSON v . Αναλυτικά τα δεδομένα και οι πηγές τους αναφέρονται στο [16].

Οι τιμές Γ_{wall} , για μεν τις ορθογωνικές κατόψεις προσδιορίστηκαν από τον διαχωρισμό τής δυσκαμψίας τής τάφρου από τη δυσκαμψία τού εγκιβωτισμένου θεμελίου, για δε τον κύκλο και τη λωρίδα, από τη δυσκαμψία τού πλήρως εγκιβωτισμένου, εφαρμόζοντας τις εξισώσεις για τα Γ_{tre} που βρέθηκαν στο προηγούμενο στόδιο (Εξ. 14 και 15).

Όπως και για το G_{tre} , εξετάστηκαν ξεχωριστά η οτροφή περί του όξουν x και περί του y . Τα δεδομένα απεικονίζονται συναρτήσει τού λόγου D/B στο

Σχήμα 8. Από τη μελέτη τους προκύπτουν τα εξής:

(α) Το G_{wall} ευδέχεται να λάβει εξαιρετικώς μεγάλες τιμές. Το γεγονός αυτό φαίνεται φυσικό, αν ληφθεί υπόψη η τάξη μεγέθους της δυσκαμψίας σε οτροφή μιας κατακρυφής πλάκας μέσα στο έδαφος, δημοσ. δινεται από την ημιαναλυτική λύση των DOUGLAS & DAVIS [4]. Αυτή η πλάκα θα αντιπροσωπεύει περίπτωση μιας δύο από τους κατακρυφους τοίχους της θεμελίωσης. Ακόμη, το γεγονός αυτό επιβεβαιώνεται και από την πειραματική εργασία του ERDEN [5].

(β) Το G_{wall_x} είναι μεγαλύτερο τού G_{wall_y} . Η διαφορά τους αυξάνεται με το D/B και το L/B . Μια ερμηνεία του γεγονός αυτού μπορεί κανεὶς να εμπνευσθεὶ από τη μορφή της κατανομής τών τόσεων - για τους δύο από τους κατακρυφους τοίχους - δημοσ. αυτή προκύπτει από τη λύση των DOUGLAS & DAVIS [4] που πρασανθρέθηκε. Από τις κατανομές αυτές φαίνεται ότι στην περίπτωση μιας οτροφής περί του επιστρατεύονται τόσεις σε μεγαλύτερη επιφάνεια.

(γ) Το G_{wall} αυξάνεται με το D/B , δημοσ. και αναμένεται.

(δ) Από το Σχήμα 8 φαίνεται πως τα G_{wall} κάθε άλλο παρά μονοσήμαντη συνάρτηση του D/B είναι. Τούτο ομοιαίνει πως και άλλες παράμετροι επηρεάζουν τη συνάρτηση G_{wall} . Ακόμη, δημοσ. προέκυψε από τη μελέτη, το G_{wall} δεν βρίσκεται σε συσχέτιση σύντομη με τις παραμέτρους που απεικονίζονται τα αντίστοιχα G_{wall} στην κατακρυφή [7] κατ την ορίζοντα κίνηση [8], γεγονός δηλατικό της διαφορετικής συμπεριφόρδας τού συστήματος σε περιστροφή.

(ε) Τα G_{wall} δεσχάνουν ιδιαίτερη τιμή την θεμελίωση του λόγου του POISSON ν. Με την επαναληπτική μέθοδο "δοκιμασίας και διόρθωσης" βρέθηκε μια σχετικά απλή και ακριβής συσχέτιση για τα δύο G_{wall} (Σχ. 9). Οι σχέσεις που προτείνονται είναι:

$$G_{wall_x} = 1 + 1.26 \frac{d}{B} \left[1 + \frac{d}{B} \left(\frac{d}{D} \right)^{-0.2} \left(\frac{B}{L} \right)^{0.5} \right] \quad (16)$$

$$G_{wall_y} = 1 + 0.92 \left(\frac{d}{L} \right)^{0.6} \left[1.5 + \left(\frac{d}{L} \right)^{1.9} \left(\frac{d}{D} \right)^{-0.6} \right] \quad (17)$$

Οι σχέσεις αυτές δίνουν πολύ καλά αποτελέσματα και για τον κύκλο, αν χρησιμοποιηθεί $B=L=R$ (περιγεγραμμένο τετράγωνο) προσέξτε επίσης ότι οι τιμές του G_{wall} για τον κύκλο είναι πολύ κοντά σ' αυτές του τετραγώνου. Έτοι, θεωρείτο ότι οι σχέσεις 16 και 17 αποτελούν ικανοποιητική προσέγγιση και για κάτιοψη τυχόντος σχήματος εφόσον χρησιμοποιηθεί ο λόγος B/L τού περιγεγραμμένου ορθογωνίου. Η παραπάνω θεώρηση δικαιώνεται απόλυτα στην περίπτωση σύνθετης κατόψεως τού Σχήματος 3, δημοσ. θα δειχτεῖ παρακάτω. Οι σχέσεις 16 και 17 ισχύουν ανεξάρτητα της τιμής τού λόγου του POISSON, ν. Σημειώνεται, εξ άλλου, ότι η αλγεβρική έκφραση που δίνει το G_{wall_x} έχει σωστή συμπτωτική συμπεριφόρδα. Δηλαδή, διαν το L/B τείνει στο άπειρο τελευτεί να λάβει τιμής περίπου ισές μ' αυτές που προκύπτουν από τις δημοσιευμένες λύσεις για τη θεμελιώσιμιδα. Ακόμη, ότι το G_{wall_x} είναι ουσιαστικά ανεξάρτητο τού λόγου L/B , εφόσον $L/B > 10$, μια κατ τόσο επιμήκη θεμέλια πρακτικώς ισοδυναμόν με θεμελιώσιμα.

Από τις παραπάνω σχέσεις καθώς και από άλλες πιο πολύπλοκες συσχέτισης που βρέθηκαν (πάλι με δοκιμές) συνδύεται ότι:

(α) Το G_{wall_y} δεν εξαρτάται από το πλάτος B της θεμελίωσης.

(β) Το G_{wall_x} εξαρτώνται κυρίως από το ύψος επαφής d , εδφους-παρόπλευρων τοίχων και πολύ λιγότερο από το βάθος θεμελίωσης D , πράγμα άλλωστε τελείως ομφωνο με την ποιοτική προσομοίωση που παρουσιάσαμε (βλ. Σχ. 5).

6. ΣΥΓΚΡΙΣΗ ΤΗΣ ΜΕΘΟΔΟΥ ΜΕ ΑΝΑΛΥΤΙΚΑ ΑΠΟΤΕΛΕΣΜΑΤΑ

Εδώ γίνεται σύγκριση των αποτελεσμάτων που δίνει η προτεινόμενη μέθοδος με τα αντίστοιχα αποτελέσματα που δίνει η αναλυτική λύση τών HARITOS & KEER [9] για τη θεμελιολαρβίδα. Η λύση αυτή είναι μια από τις ελάχιστες (τις οποίες η μονοδική) αναλυτικές που έχουν δημοσιευτεί μέχρι σήμερα.

Η μέθοδος αυτής εδώ της εργασίας προτείνεται:

$$K = K_{\text{sur}} \Gamma_{\text{wall}} \Gamma_{\text{tre}}$$

Από την εξίσωση 2, ειδικεύοντας για θεμελιολαρβίδα έχουμε:

$$\frac{K_{rx_{\text{sur}}}}{2L} = \frac{S_{rx}}{20.25} \frac{G}{1-v} \frac{(I_x/2L)^{0.75}}{(BL/L)} = GB^2 (1-v) 0.62 S_{rx}$$

και επομένως:

$$\frac{K_{rx_{\text{sur}}}}{2L} \frac{1}{GB^2} = 0.62 \frac{S_{rx}}{1-v}$$

Η Εξ. 4 δίνει $S_{rx} = 2.4$, όποιες για $v = 0.3$:

$$\frac{K_{rx_{\text{sur}}}}{2L} \frac{1}{GB^2} = 2.126$$

Για $D/B = 1$ και $/D = 1$

- από τη σχέση 14 προκύπτει: $\Gamma_{\text{tre}} = 1.025$
- από τη σχέση 16 προκύπτει: $\Gamma_{\text{wall}} = 2.26$

Τελικώς συνδυάζοντας όλα τα παραπάνω, καταλήγουμε στην ακόλουθη τιμή στροφής δισκωμψίας της εγκιβωτισμένης θεμελιολαρβίδας:

$$\frac{K_{rx}}{2L} = 2.126 \times 1.025 \times 2.26 GB^2 = 4.92 GB^2$$

ενώ από τους HARITOS & KEER προκύπτει:

$$\frac{K_{rx}}{2L} = 5.5 GB^2$$

δηλαδή έχουμε διαφορά περίπου 10%, που δεν μπορεί βέβαια να θεωρηθεί σημαντική, αν ληφθεί υπόψη η συνήθης διασπορά τών τιμών των "ορθών" μεθόδων (θυμηθείτε το Σχ. 2).

Για $D/B = 0.5$ και $/D = 1$

- από τη σχέση 14 προκύπτει: $\Gamma_{\text{tre}} = 1.0125$
- από τη σχέση 16 προκύπτει: $\Gamma_{\text{wall}} = 1.63$

Τελικά καταλήγουμε στην τιμή:

$$\frac{K_{rx}}{2L} = 2.126 \times 1.0125 \times 1.63 GB^2 = 3.51 GB^2$$

ενώ από τους HARITOS & KEER [9] προκύπτει:

$$\frac{K_{rx}}{2L} = 4 GB^2$$

δηλαδή η προσέγγιση είναι και πάλι ικανοποιητική.

Τα αποτελέσματα που συγκρίθηκαν εδώ παρουσιάζονται συγκεντρωμένα και στον Πίνακα 1.

7. ΣΥΓΚΡΙΣΗ ΤΗΣ ΜΕΘΟΔΟΥ ΜΕ ΑΡΙΘΜΗΤΙΚΑ ΑΠΟΤΕΛΕΣΜΑΤΑ

Εδώ παραβλέπονται τα αποτελέσματα που δίνει η προτεινόμενη μέθοδος για μια κάτοψη σύνθετου σχήματος (Σχ. 10) με αυτά που έδωσε η ανάλυση με τη μέθοδο των Συνοριακών Στοιχείων. Η σύγκριση παρουσιάζεται στον Πίνακα 1.

Στο Σχ. 10 φαίνονται τα δύο σχήματα κατόψεως καθώς και οι γεωμετρικές τους παραμέτρους.

Από τον Πίνακα 1 είναι φανερό ότι η μέθοδος προσεγγίζει πολύ καλά την "ακριβή" λύση. Έτσι, με την παραπάνω σύγκριση επιβεβαιώνεται η προβλεπτική της μεθόδου για κατόψεις τυχόντος σχήματος, αφού έδωσε και για μια κάτοψη τύπου διαφορετική από την ορθογωνική πολύ ικανοποιητικά αποτελέσματα.

8. ΣΥΓΚΡΙΣΗ ΜΕ ΠΕΙΡΑΜΑΤΙΚΑ ΑΠΟΤΕΛΕΣΜΑΤΑ

Σ' αυτό το ομείο γίνεται μια σύγκριση της μεθόδου που παρουσιάστηκε, με τα αποτελέσματα πειραμάτων μικρής κλίμακας των STOKOE & ERDEN [5], [12], [13]. Χρησιμοποιούνται δηλαδή οι αναλυτικές εκφράσεις που προτίθηκαν προηγουμένως για να υπολογιστεί το μέτρο διάτημης G και η ταχύτητα V_s τών διατημικών κυμάτων του εδαφικού μέσου των πειραμάτων. Έτσι γίνεται μια καλή έμμεση επαλήθευση της προτεινόμενης μεθόδου, αφού τα πειραματικά και θεωρητικά αποτελέσματα συγκλίνουν ικανοποιητικά. Παράλληλα δύναται γίνεται και μια διερεύνηση της διαδικασίας προσδιορισμού του μέτρου διάτημης G και της ταχύτητας V_s . Έτσι, καταλήγουμε και σε έναν τρόπο ρεαλιστικής εκτίμησης αυτών των μεγεθών σε πραγματικές συνθήκες.

Τα πειράματα των STOKOE & ERDEN

Τα πειράματα αυτά αποτελούν μια πλήρη και πολύ προσεκτική διερεύνηση της επέδρασης που έχουν πάνω στη δυναμική ουμπεριφορά το σχήμα κατόψεως της θεμελίωσης και ο εγκιβωτισμός της. Αφορούν δε - στο μέρος τους που χρησιμοποιείται εδώ και που είναι συνολικά ενευήντα τρεις περιπτώσεις - κατόψεις κυκλικές, τετραγωνικές, και ορθογωνικές λόγου πλευρών περίπου [σου] 2, 3, 4, και 6, που είναι είτε επιφανειακές, είτε εδράζονται σε κάποιο βάθος μέσα σε τόφρο, είτε είναι πλήρως εγκιβωτισμένες στο εδαφικό μέσο που χρησιμοποιείται. Τα είδη τών θεμελιών αναφέρονται αναλυτικότερα αιμέσως παρακάτω:

Επιφανειακά θεμέλια - Όλα τα ομοιώματα που χρησιμοποιήθηκαν στην έρευνα των STOKOE & ERDEN ήταν κατασκευασμένα από σκυρόδεμα (Σχ. 11) και καθένα εφαρμόζονταν στη θέση του, πριν τη δοκιμή. Το σχήμα δύων ήταν κυλινδρικό, η επιφάνεια εδράσεως δύως ποικιλλή, δύος συναφέρθηκε πιο πάνω. Συνολικό χρησιμοποιήθηκαν επτά μοντέλα. Και το επτά σχεδιάστηκαν έτσι ώστε η επιφάνεια της βάσης, το όφισος και έτσι και το βάρος, να διατηρούνται σταθερά. Τα πειράματα εκτελέστηκαν δχι μόνο με το αρχικό βάρος των θεμελιών, αλλά και δύο φορές ακόμη, με επιπλέον βάρος. Τα πρόσθετα αυτά βάρη τοποθετήθηκαν συμμετρικά ως προς το κέντρο βάρους, ώστε να μην αλλάξει η θέση του. Τα ορθογωνικά θεμέλια διεγέρονταν σε κίνηση γύρω και από τους δύο κύριους διαστούς: τον διαμήκη χ και τον εγκάριο γ.

Θεμέλια εδραζόμενα σε βάθος Δ - Τα θεμέλια που χρησιμοποιήθηκαν εδώ είχαν σχήμα κάτοψης: κυκλικό, τετραγωνικό, και ορθογωνικό λόγου πλευρών 2 και 4. Για κάθε σχήμα εφαρμόστηκαν τρία διαφορετικά βάθη θεμελιώσεως και τρία διαφορετικά βάρη - δύος και με τα επιφανειακά. Κάθε πέδιλο εξετάζοντας αρχικά σαν πλήρως εγκιβωτισμένα και μετά σκαβόνταν μια τάφρος γύρω του ώστε να εξεταστεί σαν θεμέλιο σε δρυγά.

"Οσον αφορά τον τρόπο διέγερσης και το υλικό που χρησιμοποιήθηκε σαν εδαφικό μέσο, αυτά αναπτύσσονται αιμέσως παρακάτω.

Διέγερση - Οι STOKOE & ERDEN ασχολήθηκαν κυρίως με την παροδική ελεύθερη ταλάντωση - αν και εκτέλεσαν και μερικά πειράματα με μόνιμες ταλαντώσεις. Για καθένα από τα συνολικά ενενήντα τρία πειράματα, το θεμέλιο διεγερόταν με την ξαφνική αφάρεση μιας στατικής ορίζοντιας δύναμης που εφαρμόζοταν στην κορυφή του. Η δύναμη αυτή επιβαλλόταν κατά μήκος των σεξινων χ και για κίνηση κατά μήκος των χ και γ αντίστοιχα, ή με δλλαγή, για λικνισμό περί των χ και γ αντίστοιχα.

Εδαφικό μέσο - Τα θεμέλια εδράζονταν στην επιφάνεια, ή σε κάποιο βάθος μέσα σε μια κυλινδρική μάζα ομοιόμορφης υγρής πυκνής δόμου, με διαστάσεις περίπου 5 ft βάθος και 10 ft διάμετρο (Σχ. 11). Η δόμηση αυτή περιβαλλόταν από ένα οτρώμα προσινδύο με πάχος 1 ft, ενώ όλο αυτό το υλικό βρισκόταν μέσα σε μια κυλινδρική κατασκευή από σκυρόδεμα. Η δόμηση στο σύστημα αντιπροσωπεύει τον ελαστικό ημίχωρο, και μάλιστα, γενικά, πολύ ικανοποιητικά, τουλάχιστον για μικρά δυναμικά βέλη. Το πρινδί γύρω από την δόμηση ενεργεί σαν ένα υλικό που απορροφά μέρος τής ενέργειας που προοδεύει στο σύστημα απη διάρκεια τού περιβάστος, ώστε αυτή να μην ανακλάται πάλι πίσω στην δόμηση. Η απορρόφηση αυτή δημιούργησε δεν υποκαθιστά την απώλεια που θα είχαμε αν το μέσο εκτεινόταν πραγματικά στο δημερικό, δημος συμπερανεται και εξηγείται στην εργασία των DOBRY, GAZETAS, και STOKOE [3], γεγονός που πάντως δεν θεωρείται διτή επηρέαζει τη δυσκαμψία του συστήματος, δημος θα εξηγηθεί παρακάτω. Οι ιδιότητες τής δόμησης είναι: πυκνότητα^α μάζας $\rho = (121 \text{ lb/ft}^3)/(32.2 \text{ ft/sec}^2) = 3.758 \text{ lb-sec}^2 \text{- ft}^{-1}$, και λόγος τού POISSON $v = 1/3$. Η βασική παραμέτρος τού προβλήματος, η ταχύτητα V , τών διατημητικών κυμάτων δεν έχει μοναδική λύση. Από τους STOKOE & ERDEN δίνονται οι μετρημένες επιτόπου τιμές της V για την δόμηση πριν την τοποθέτηση τών θεμελίων (Σχ. 11). Για τη μέτρηση τών τιμών αυτών χρησιμοποιήθηκε η τεχνική cross-hole.

Αυτές οι τιμές, φυσικά, αυξάνονται μετά την τοποθέτηση τών θεμελίων και στον προσδιορισμό αυτών τών αυξημένων τιμών εντοπίζεται κυρίως το αντικείμενο αυτού εδώ του μέρους τής παρουσιαζόμενης ερευνητικής εργασίας.

Διερεύνηση της συμπεριφοράς - Επεξεργασία των δεδομένων

Η στροφή περί έναν οριζόντιο δέσμονα είναι κίνηση συζευγμένη με την κίνηση κατά τον οριζόντιο δέσμονα τον κάθετο στον πράτο. Έτοι, στα πειράματα των STOKOE & ERDEN ο δύο αυτές κινήσεις εξετάστηκαν μαζί, αφού παρουσιάζονταν ταυτόχρονα. Επομένως, και σ' αυτήν εδώ την ανάλυση εξετάστηκε η συζευγμένη κίνηση, δημος ήταν αναγκαίο. Γι' αυτό, εκτός από την μέθοδο για τον προσδιορισμό της δυσκαμψίας σε στροφή που παρουσιάστηκε πιο πριν, χρησιμοποιείται και αυτή για την δυσκαμψία στην μετακίνηση κατά μήκος ορίζοντιου δέσμου, τών GAZETAS & TASSOULAS [8].

Από τα παραπόνω γίνεται φανερό διτή το σύστημα δεν μπορεί να παρασταθεί από έναν μονοβάθμιο ταλαντωτή, δημος γίνεται στην περίπτωση τής καταδρυφής ή της στρεπτικής διέγερσης, αλλά πρέπει να χρησιμοποιηθεί ταλαντωτής δύο συζευγμένων βαθμών ελεύθερος. Για ένα τέτοιο σύστημα η εξίσωση ιδιοσυχνοτήτων θα είναι:

$$\frac{I_0}{A} w - \left(\frac{K_r}{A} + \frac{K}{M} \right) w^2 + \frac{K_r}{M A} = 0 \quad (18)$$

δημος: I_0 = ροτή αρδάνειας τού θεμελίου ως προς ορίζοντιο δέσμονα που περνά από το κέντρο βάρους του, I_A = ροτή αρδάνειας τού θεμελίου ως προς τον οριζόντιο δέσμονα που περνά από το κέντρο βάρους τής βάσης και περί του οποίο στρέφεται το σώμα θα είναι: $I_0 = I_A - h_0^2 M$ δημος h_0 = το μισό τού ύψους τού θεμελίου, M = η μάζα του, K_r = η στροφική δυσκαμψία τού θεμελίου ως προς τον δέσμονα περί του οποίου γίνεται η κίνηση, και K = η μεταφορική δυσκαμψία ως προς τον δέσμονα κατά μήκος τού οποίου γίνεται η κίνηση και που θα είναι βέβαια

κάθετος σ' αυτόν περί τον οποίο στρέφεται το θεμέλιο. Το ω είναι η ιδιοσυχνότητα τού συστήματος που εκτελεί τη συνδυασμένη κίνηση - μεταδόρική και στροφική.

Πριν αναπτυχθεί ο τρόπος ανάλυσης τού προβλήματος που χρησιμοποιήθηκε εδώ, παρουσιάζονται μερικά συμπεράσματα από την πειραματική εργασία τών STOKOE & ERDEN [12], και από την εργασία τών DOBRY, GAZETAS & STOKOE [3], πολύ χρήσιμα για την κατανόηση της συμπεριφοράς του συστήματος και του τρόπου ανάλυσής της: Σ' αυτή την κίνηση η απόδεση έποιξε πολύ μικρό ρέλο. Έτοι, εκτός από το γεγονός ότι μπορούσε να διακριθεί καθαρά ένας μεγάλος αριθμός από κύκλους ταλαντώσεων, όπως ήταν επόμενο, οι συχνότητες με απόδεση ήταν πρακτικά ίσες με τις φυσικές συχνότητες. Ένα άλλο βασικό σημείο που πρέπει να τονιστεί είναι ότι, σε όλες τις περιπτώσεις, μόνο η πρώτη κανονική μορφή τού συστήματος φαίνεται να διεγείρεται, αφού αυτή ήταν σχεδόν δμοια με την αντίστοιχη μορφή για τη στατική δόρτιση, ενώ ο δεύτερος κανονικός τρόπος ταλαντώσης ήταν τελείως διαφορετικός.

Η ανάλυση, τώρα, έγινε ως εξής: Για κάθε μια κατεύθυνση κίνησης υπολογίστηκε η αντίστοιχη στατική μεταφορική δυσκαμψία - με τη μέθοδο που παρουσιάζεται στο [8] - και η αντίστοιχη στροφική - με τη μέθοδο που παρουσιάζεται εδώ. Για το ίδιο θεμέλιο και για κάθε βάρος έχουμε την αντίστοιχη μετρημένη συχνότητα τού συστήματος [5]. Οι δυσκαμψίες που προαναφέρθηκαν θα είναι συνάρτηση τού μέτρου διάτημης G . Έτοι, από την εξίσωση (18) και για τις αντίστοιχες ροπές αδράνειας και μάζας, προσδοκούνται το G . Από το G προκύπτει η ταχύτητα τών διατημητικών κυμάτων: $V_s = (G/p)^{0.5}$ και από αυτήν η αδιάστατη γυναίκη συχνότητα: $a_o = \omega B/V_s$, δημού Β το ημι-πλάτος τού σχήματος κατόψεως.

Από τον αδιάστατο αυτό συντελεστή εκτιμάται ο δυναμικός συντελεστής ακεμψίας K και k για την μεταφορική και για τη στροφική κίνηση και για τους αντίστοιχους δίσονες. Έτοι, προκύπτει η δυναμική δυσκαμψία τού συστήματος: $K = K_k$. Η διαδικασία αυτή πρέπει να επαναληφθεί, μέχρι τη σύγκλιση. Στην περίπτωση μας δημι όμως δεν χρειάστηκαν, πρακτικό, επαναληφθείσα αφού τα a_o αποδείχτηκαν πού μικρό και τα αντίστοιχα ήταν περίπου (σα με τη μονάδα). Το γεγονός αυτό επιβεβαιώνει το συμπέρασμα που προηγουμένως αναφέρθηκε, δηλαδή διεγείρεται μόνο η πρώτη κανονική μορφή που είναι συστατικά δμοια με τη στατική. Σύμφωνα, επίσης, με τα προηγούμενα συμπεράσματα δεν λήφθηκε υπόψη η απόδεση ενέργειας, ενώ αμελήθηκε και η υστερητική απόδεση τού υλικού, αφού θα είχε πολύ μικρή επίδραση.

Με τις ταχύτητες V_s πουρει πο μορφωθεί ένα προφίλ ταχυτήτων τού εδαφικού μέσου που χρησιμοποιήθηκε στα πειράματα, αν θεωρήσουμε ότι η ταχύτητα που προκύπτει από κάθε περίπτωση θεμέλιον αντίστοιχε σε ένα βάρος $B/2$ κάτω από το επίπεδο εδράσεων του. Το προφίλ αυτό ταχυτήτων για ένα από τα βάρη με το οποία έγιναν τα πειράματα για θεμέλιον επιφανειακό, πλήρως εγκιβωτισμένα, και μέσο σε δρυγόμα, για τις κατεύθυνσεις x και y (εδώ χρησιμοποιείται η κατεύθυνση μεταφοράς κίνησης για το συμβολισμό - η x κατεύθυνση δηλαδή αντίστοιχει σε στροφή και δρά ροπές αδράνειας ως προς τον δίσονα y), παρουσιάζεται στο Σχήμα 12. Στο ίδιο σχήμα παρουσιάζεται και η καμπύλη με τις τιμές που μετρήθηκαν για το V_s , πριν από την τοποθέτηση τών θεμελίων.

Από τις αρχικές μετρημένες τιμές της ταχύτητας: V_s αρχ. και με το βάρος του θεμέλιου υπολογίζονται οι άνεξιμενες τιμές V_s , μετά την επίβολη τού φορτίου:

$$V_s = V_{s \text{ αρχ.}} \left[\frac{\frac{a_0}{\text{αρχ.}} + \Delta a_0}{\frac{a_0}{\text{αρχ.}}} \right]^{1/2} \quad (19)$$

όπου το $\sigma_0 = (\sigma_x + \sigma_y + \sigma_z)/3$ υπολογίζεται με τη θεωρία της ελαστικότητας για το σημείο του δύνα - $x \approx 0$, αντίστοιχα με την κενήση που εξετάζεται - πάνω στην ακμή του σχήματος κατίφεως. Αυτό το σημείο θεωρείται από τους περισσότερους ερευνητές σαν το "ενεργό" σημείο στον λικνισμό. Έτσι μορδώνεται ένα νέο "προφίλ" ταχυτήτων V_s κάτω από το επίπεδο εδράσεως τού θεμέλιου. Μ' αυτές τις τιμές συγκρίνονται οι αντίστοιχες που προέκυψαν από την ανάλυση τού συστήματος τών δύο βαθμών ελευθερίας κινήσεως. Η σύγκριση αυτή είναι γενικά ικανοποιητική, δηλαδή φαίνεται και από το Σχήμα 12, όπου παρουσιάζεται, ενδεικτικό, η καμπύλη τών ταχυτήτων για τετραγωνικό θεμέλιο που εδράσεται σε βάθος 5 m. Η μεση διαφορά σ' αυτή την περίπτωση είναι μικρήτερη από 20% και οι τιμές που υπολογίζονται για την ταχύτητα τών διατυπικών κυμάτων βρίσκονται ανάμεσα στις τιμές V_s αρχ και V_s .

Σ' αυτό το σημείο πρέπει να γίνουν ορισμένες παρατηρήσεις: Η δοκιμή τύπου cross-hole με την οποία προσδιορίζονται τα αρχικά V_s , εισάγει πολύ μικρές παραμορφώσεις - της τάξης του 10^{-5} - και επομένως θα εμφανίζεται αυξημένο G και V_s , δχεικό με τα πραγματικά - για την περίπτωση μας. Έτσι δικαιολογείται το γεγονός ότι τα V_s που προκύπτουν από την ανάλυση του συστήματος (σημεία στο Σχ. 12) είναι μικρότερα από αυτά της εξίσωσης (19). Η διπούψη αυτή ενισχύεται και από την τάση που εμφανίζουν τα V_s των θεμελίων σε τάφρο να είναι μικρότερα από τών αντίστοιχων εγκιβωτισμένων (Σχ. 12), πράγμα που δλώστεθε θα περιμέναμε, αφού τα θεμέλια σε τάφρο συνδέονται: με φαντάμενα περισσότερο ανελαστικά, απ' ότι τα πλήριας εγκιβωτισμένα.

Από τα παραπάνω συμπερασμούμε ότι τα πειράματα σε ομοιώματα μικρής κλίμακας των STOKOE & ERDEN επιβεβαίώνουν πολύ ικανοποιητικά την αναλυτική μέθοδο που παρουσιάζεται σ' αυτήν εδώ την εργασία για τη στροφή δυσκριμύζοντας θεμελιώσεων πάνω σ' ένα βαθύ εδαφικό στρώμα. Ταυτόχρονα δώμας συνάγουμε και δι, για τη σωστή χρησιμοποίηση της μεθόδου στην πράξη, επιβάλλεται το μέτρο διάτησης G να εκτιμηθεί με βάση το προβλ. τών διατυπικών ταχυτήτων V_s το οποίο προκύπτει από επιτόπιες δοκιμές cross-hole ή down-hole. Βεβαίως, δώμας, επιβάλλεται επίσης να γίνουν δύο διορθώσεις τού αρχικού προφίλ ταχυτήτων:

Μία διόρθωση για να ληφθεί υπόψη η αύξηση της σ_0 υπό το θεμέλιο, μετά την ανέγερση της αναδομής, και

Μία διόρθωση για να ληφθεί υπόψη το "ενεργό" μέγεθος τών εδαφικών διατυπικών παραμορφώσεων, γ (δύο μεγαλύτερο το γ, τόσο μικρότερη η V_s που πρέπει να χρησιμοποιηθεί).

ΒΙΒΛΙΟΓΡΑΦΙΚΕΣ ΠΑΡΑΠΟΜΠΕΣ

1. Day, S.M., "Finite Element Analysis of Seismic Scattering Problems", Ph.D. Thesis, University of California, San Diego, La Jolla, California, 1977.
2. Dobry, R., and Gazetas, G., "Dynamic Response of Arbitrarily Shaped Foundations", Journal of Geotechnical Engineering, ASCE, Vol. 112, No. 2, February 1986, pp 109-135.
3. Dobry, R., Gazetas, G., and Stokoe, K.H. II, "Dynamic Response of Arbitrarily Shaped Foundations: Experimental Verification", Journal of Geotechnical Engineering, ASCE, Vol. 112, No. 2, February 1986, pp 136-154.
4. Douglas, D.J., and Davis, E.H., "The Movement of Buried Footings due to Moment and Horizontal Load and the Movement of Anchor Plates", Geotechnique, No. 2, Vol. 14, 1964.
5. Erden, S.M., "Influence of Shape and Embedment on Dynamic Foundation Response", Ph.D. Thesis, University of Massachusetts, Amherst, Massachusetts, 1974.

6. Gazetas, G., "Analysis of Machine Foundation Vibrations: State of the Art", International Journal of Soil Dynamics and Earthquake Engineering, Vol. 2, No. 1, 1983, pp 2-42.
7. Gazetas, G., Dobry, R., and Tassoulas, J.L., "Vertical Response of Arbitrarily Shaped Embedded Foundations", Journal of Geotechnical Engineering, ASCE, Vol. 111, No. 6, 1985, pp 750-771.
8. Gazetas, G., and Tassoulas, J.L., "Horizontal Stiffness of Arbitrarily Shaped Embedded Foundations", Journal of Geotechnical Engineering, ASCE (submitted for publication).
9. Haritos, G.K., and Keer, L.M., "Stress Analysis for an Elastic Half Space Containing an Embedded Rigid Block", Int. Journal of Solids and Structures, Vol. 16, pp 19-40, 1980.
10. Johnson, G.R., Christiano, P., and Epstein, H.I., "Stiffness Coefficients for Embedded Footings", Journal of the Geotechnical Engineering Division, ASCE, Vol. 101, No. GT8, August 1975, pp 789-800.
11. Pais, A., and Kausel, E., "Stochastic Response of Foundations", Research Report R85-6, Department of Civil Engineering, Massachusetts, Institute of Technology, Cambridge, Massachusetts, 1985.
12. Stokoe, K.H., II and Erden, S.M., "Influence of Base Shape on Dynamic Response of Surface Foundations".
13. Stokoe, K.H., II and Erden, S.M., "Effects on Embedment on Foundation Response".
14. Tassoulas, J.L., "The Boundary Element in Soil Structure Interaction", Boundary Element in Structural Mechanics, ASCE, 1986.
15. Wolf, J.P., "Dynamic Soil Structure Interaction", Prentice-Hall, Inc., Englewood Cliffs, New Jersey, 1985.
16. Χατζηκωνσταντίνου, Α., "Στατική Περιστροφική Δυσκαμψία Εγκιβωτισμένων Θεμελιώσεων Τυχόντος Σχήματος κατόψεως", Διπλωματική Εργασία, Τομέας Γεωτεχνικής, Ε.Μ.Π., 1986.

SUMMARY

Using high quality numerical data from a boundary-element solution, the paper develops simple algebraic formulas for estimating the rocking static stiffness of a flexurally rigid foundation which has an arbitrary basemat shape, and is embedded in a reasonably deep and homogeneous soil deposit of shear modulus G and Poisson's ratio ν .

The proposed expressions are:

$$K_{rx} = \left(1 + 1.26 \frac{d}{B} \left[1 + \frac{d}{B} \left(\frac{d}{D} \right)^{-0.2} \cdot \left(\frac{B}{L} \right)^{0.5} \right] \right) \cdot K_{sur,rx}$$

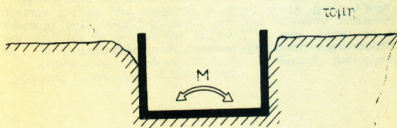
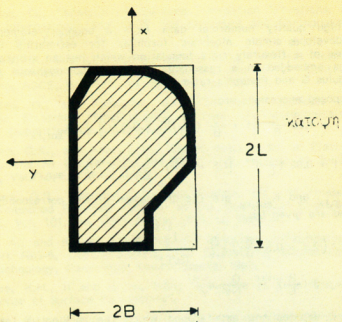
$$K_{ry} = \left(1 + 0.92 \left(\frac{d}{L} \right)^{0.6} \left[1.5 + \left(\frac{d}{L} \right)^{1.9} \cdot \left(\frac{d}{D} \right)^{-0.6} \right] \right) \cdot K_{sur,ry}$$

in which $K_{sur,rx}$ and $K_{sur,ry}$ are the stiffnesses of the corresponding surface foundation and are given by:

$$K_{sur,rx} = \left(2.4 + 0.5 \frac{B}{L} \right) \frac{G}{1-\nu} \frac{l_x^{0.75}}{(B/L)^{0.25}}$$

$$K_{sur,ry} = 3 \left(\frac{B}{L} \right)^{-0.15} \frac{G}{1-\nu} l_y^{0.75}$$

where x or y denotes the axis around which the rocking is taking place; l_x and l_y = the basemat area moment of inertia around the x and y axis, respectively; $2B$ and $2L$ = the width and length of the rectangle circumscribed to the basemat, as illustrated in Fig. 1; D = the depth of embedment; and d = the height along which there is complete and perfect contact between the foundation sidewalls and the surrounding soil. The proposed expressions can be readily used in practical applications to estimate the rotation of foundations transmitting large moments onto the ground.

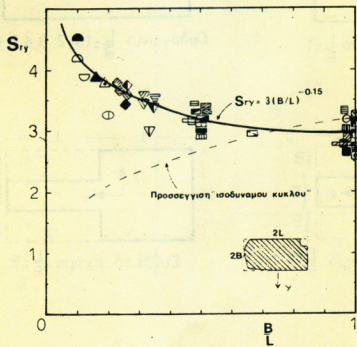
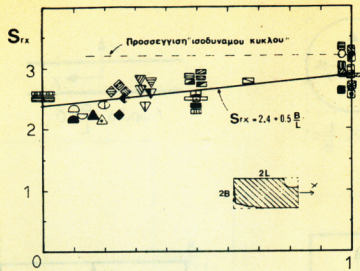


Ομοιογενής Ημιχωρος

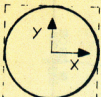
Μέτρο Διατμησεως G

Πυκνότητα Μάζας ρ

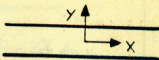
Λογος του Poisson v



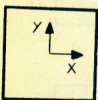
$\Sigma_x 2$



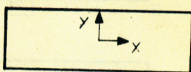
Κυκλος $\frac{L}{B} = 1$



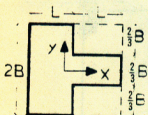
Λωριδα $\frac{B}{L} = 0$



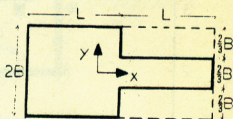
Τετραγωνο $\frac{L}{B} = 1$



Ορθογωνιο $\frac{L}{B} = 1.5, 2, 3, 4, 5, 6, 8, 10$



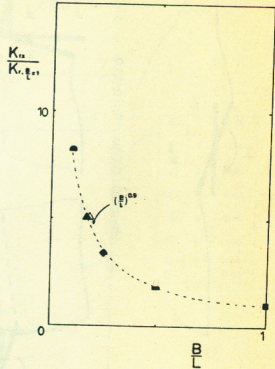
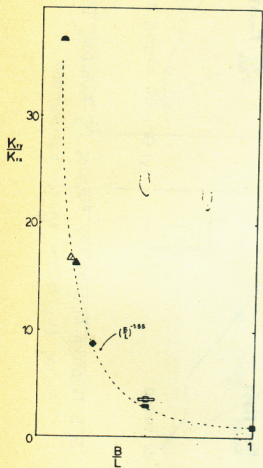
Συνθετο σχημα $\frac{L}{B} = 1$



Συνθετο σχημα $\frac{L}{B} = 2$

Σχ 3

Σχηματα Κατοψεων που Μελετηθηκαν

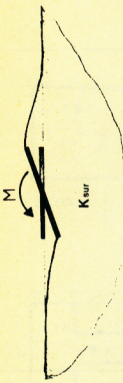


$\Sigma \chi: 4$

M

K_{sur}

(c) Θετικό στην επιφάνεια



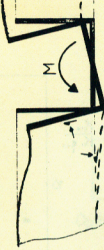
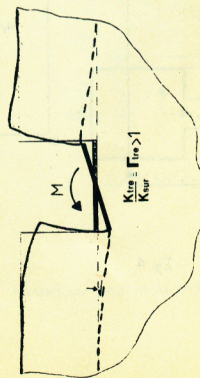
K_{sur}

$\Gamma_{wall} > 1$

M

$K_{sur} \Gamma_{wall} > 1$

(β) Θετικό σε ταφρο

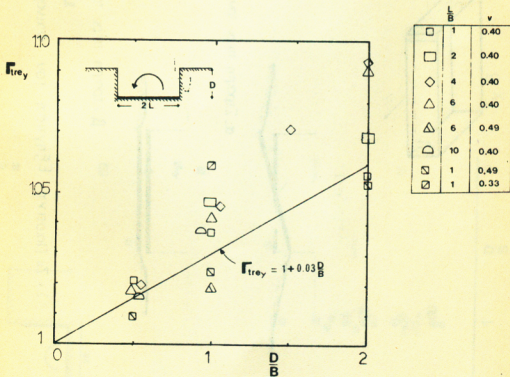
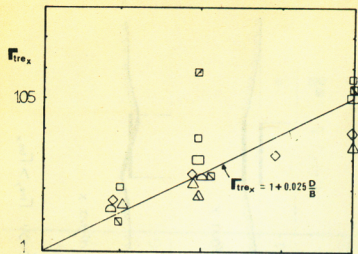


$K_{wall} = \Gamma_{wall} > 1$

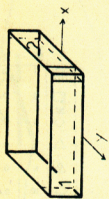
(γ) Θετικό πλήρως εγκατεγεγρένω

Σχ. 5 Ποιοτη Εξηγούνται τις Αυξήσεις της Ανοιχίας με το
Βαρος Οινοπινακο, και των Εγκριθεισιο

Βαρος Οινοπινακο, και των Εγκριθεισιο



$\Sigma_X 6$

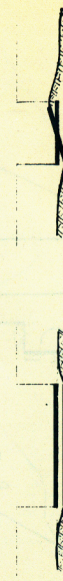


Εικόνα 1

Εικόνα 2

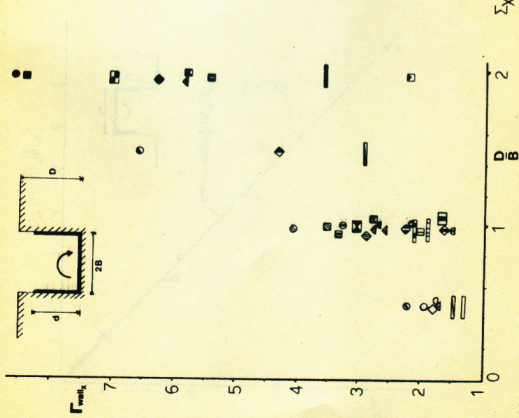
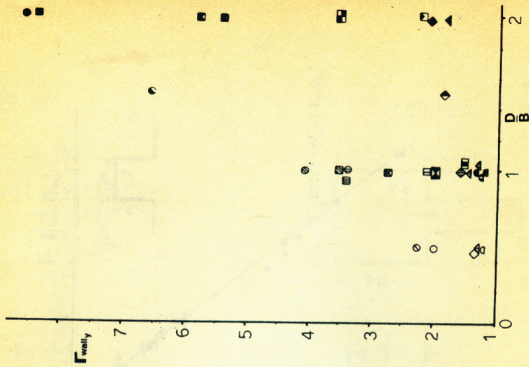


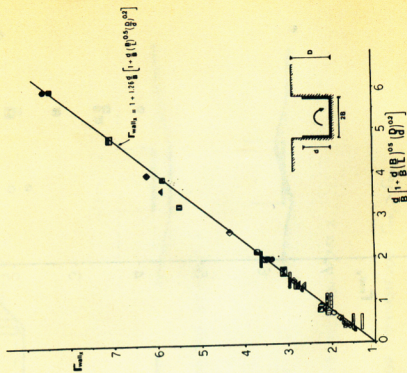
α. Σχεδιασθή περί των σημείων γ



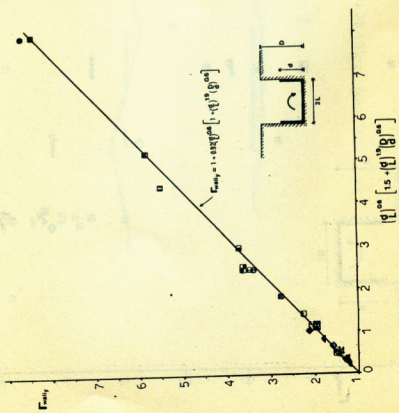
β. αριθμητική περί περιοδική

Σ. 7 Εξήγηση του φαινομένου: $\Gamma_{\text{in}} > \Gamma_{\text{res}}$

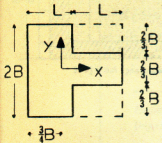




$\Sigma X 9$



Κατοψη I



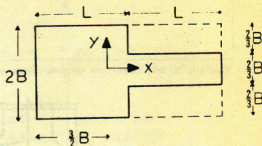
$$\frac{L}{B} = 1, \frac{D}{B} = 1, \frac{d}{D} = 1$$

$$v = 0.40$$

$$I_x = \frac{168}{243} B^4$$

$$I_y = \frac{13}{18} B^4$$

Κατοψη II



$$\frac{L}{B} = 2, \frac{D}{B} = 1, \frac{d}{D} = 1$$

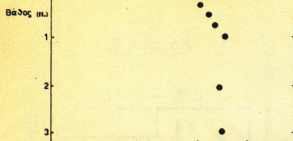
$$v = 0.40$$

$$I_x = \frac{112}{81} B^4$$

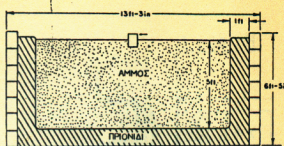
$$I_y = \frac{57}{9} B^4$$

$$\Sigma x \cdot 10$$

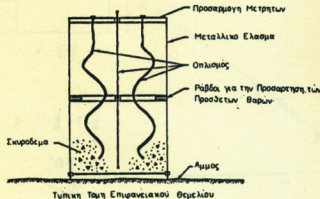
Ταχύτητα Διατμητικών Κυμάτων V_s (ft/sec)



Ταχύτητες και όπως μετρήθηκαν επιτόπου (Cross-Hole)



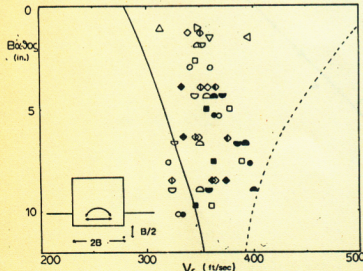
Τομή της Πειραιματικής Διατόξεως



Σχ. 11

κομπόλη V_s - επιτόπου μέτρηση με την τεχνική cross-hole, πριν την τοποθέτηση των θεμελίων:

Κομπόλη V_s - άνω πιθανό δρώσι για πολύ μικρές άνημανές παραμορφώσεις μετά την τοποθέτηση των θεμελίων: -----

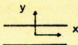
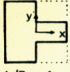
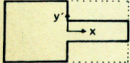


Επιφανειακό, σε δρυγή x y Πλήρως εγκιβωτισμένο

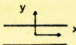
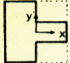
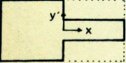
κύκλος	x	y
ΤΕΤΡΑΓΩΝΟ	□	□
$L/B=2$	□	□
$L/B=3$	▽	△
$L/B=4$	◇	◇
$L/B=6$	△	△

Σχ. 12 Ταχύτητες V_s για το αρχικό βάρος

ΠΙΝΑΚΑΣ Ι : Σύγκριση με Θεωρητικά Αποτελέσματα

Σχήμα - Πηγή	Θεωρητικά Αποτελέσματα	Προτεινόμενη Μέθοδος
 Θεμελιωρβίδα (Haritos - Keer)	$D/B = 0.5, d/B = 1$ $K_{rx}/2L = 4 \text{ GB}^3$	$D/B = 0.5, d/D = 1$ $K_{rx}/2L = 3.51 \text{ GB}^3$
 $L/B = 1$ (Tassoulas)	$D/B = 0$ $K_{rx} = 3.63 \text{ GB}^3$ $K_{ry} = 4.16 \text{ GB}^3$	$D/B = 0$ $K_{rx} = 3.66 \text{ GB}^3$ $K_{ry} = 4.6 \text{ GB}^3$
 $L/B = 2$ (Tassoulas)	$D/B = 0$ $K_{rx} = 6.26$ $K_{ry} = 22.8$	$D/B = 0$ $K_{rx} = 6.7$ $K_{ry} = 24.1$
	$D/B = 1, d/D = 1$ $K_{rx} = 23.8$ $K_{ry} = 53.35$	$D/B = 1, d/D = 1$ $K_{rx} = 21.6$ $K_{ry} = 51.4$

ΠΙΝΑΚΑΣ Ι : Σύγκριση με Θεωρητικά Αποτελέσματα

Σχήμα - Πηγή	Θεωρητικά Αποτελέσματα	Προτεινόμενη Μέθοδος
 Θεμελιωδός (Haritos - Keer)	$D/B = 0.5, d/B = 1$ $K_{rx}/2L = 4 \text{ GB}^3$	$D/B = 0.5, d/D = 1$ $K_{rx}/2L = 3.51 \text{ GB}^3$
 $L/B = 1$ (Tassoulas)	$D/B = 0$ $K_{rx} = 3.63 \text{ GB}^3$ $K_{ry} = 4.16 \text{ GB}^3$	$D/B = 0$ $K_{rx} = 3.66 \text{ GB}^3$ $K_{ry} = 4.6 \text{ GB}^3$
 $L/B = 2$ (Tassoulas)	$D/B = 0$ $K_{rx} = 6.26$ $K_{ry} = 22.8$	$D/B = 0$ $K_{rx} = 6.7$ $K_{ry} = 24.1$
	$D/B = 1, d/D = 1$ $K_{rx} = 23.8$ $K_{ry} = 53.35$	$D/B = 1, d/D = 1$ $K_{rx} = 21.6$ $K_{ry} = 51.4$